



## بررسی تغییرات خواص مکانیکی و حرارتی چسب‌های حساس به فشار برپایه لاستیک بیوتیل با استفاده از نانوذرات سیلیکای اصلاح شده با مرکاپتوسیلان

سید ادریس حسینی<sup>۱</sup>، مهران رستمی<sup>۲\*</sup>، رضا امینی<sup>۳</sup>

- ۱- دانشجوی کارشناسی ارشد، موسسه پژوهشی علوم و فناوری رنگ و پوشش، ایران، صندوق پستی: ۱۶۶۸۸۱-۴۸۱۱.
- ۲- استادیار، گروه پژوهشی نانوفناوری رنگ، موسسه پژوهشی علوم و فناوری رنگ و پوشش، تهران، ایران، صندوق پستی: ۱۶۶۸۸۱-۴۸۱۱.
- ۳- استادیار، گروه پژوهشی پوشش‌های سطح و خودگی، موسسه پژوهشی علوم و فناوری رنگ و پوشش، ایران، صندوق پستی: ۱۶۶۸۸۱-۴۸۱۱.

تاریخ دریافت: ۱۳۹۵/۲/۲۶ تاریخ پذیرش: ۱۳۹۵/۸/۲۲ در دسترس به صورت الکترونیکی از: ۱۳۹۶/۳/۲۰

### چکیده

خواص محافظتی نوار چسب‌های سرد ضدخوردگی وابسته به خواص فیزیکی و مکانیکی چسب لاستیکی مورد استفاده در تولید این محصول می‌باشد. این چسب‌ها بر پایه لاستیک بیوتیل می‌باشند. یکی از اجزاء تعیین‌کننده در محصولات لاستیکی نوع پرکننده معدنی مورد استفاده می‌باشد. در این پژوهش اصلاح سطحی نانوذرات سیلیکا OX50 توسط تری مرکاپتوپروپیل تری متوكسی سیلان به روش سل-زل انجام شده و نتایج اصلاح سطحی توسط آزمون‌های TGA و FT-IR مورد بررسی قرار گرفت. با توجه به اینکه تری مرکاپتوپروپیل تری متوكسی سیلان دارای گروه عاملی SH- می‌باشد، با پیوندهای غیراشباع لاستیک بیوتیل واکنش داده و سبب پخت لاستیک می‌گردد. برای مطالعه تاثیر نانوذرات اصلاح سطحی شده بر چسب حساس به فشار ضدخوردگی از آزمون‌های نقطه نرمی، چسبندگی و تنفس برشی استفاده شد. نتایج، بهبود خواص مکانیکی و حرارتی را نشان می‌دهد.

واژه‌های کلیدی: چسب حساس به فشار، اصلاح سطحی، پیوند دهنده سیلان، لاستیک بیوتیل، نانوذرات.

## Evaluation of Hybrid Organosilane Surface-Treated Nanoparticles on Physical and Mechanical Performance of IIR Based Pressure-Sensitive Adhesives

E. Hoseini<sup>1</sup>, M. Rostami<sup>\*1</sup>, R. Amini<sup>2</sup>

۱. Department of Nano Materials and Nano Coatings, Institute for Color Science and Technology, P.O. Box 166881-4811 Tehran, Iran.
۲. Department of Surface Coating and Corrosion, Institute for Color Science and Technology, P.O. Box 166881-4811 Tehran, Iran.

Received: 15-05-2016

Accepted: 12-11-2016

Available online: 10-06-2017

### Abstract

The aim of this Research is assessment of surface treatment effect with mercapto silane on nano silica (OX50) on mechanical and heat properties of pressure sensitive adhesive. In this study, at first, the surface of nano silica were treated by mercapto silane through sol-gel method. To studying silanization and functional group of nano particles, using TGA, FTIR analysis. Also, to investigating of chemical and physical interaction of treated and untreated particles with polymeric matrix, softening point, adhesion and lab shear tests were performed. Results revealed that the mechanical and thermal properties of pressure sensitive increased with silica treated. J. Color Sci. Tech. 11(2017), 35-44©. Institute for Color Science and Technology.

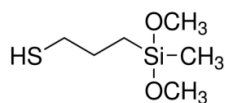
**Keywords:** Pressure sensitive adhesive, Surface treatment, Silane coupling agents, Butyl rubber, Nanoparticle.

کشش، بهبود در خواص حرارتی، چسبندگی، فیزیکی و مکانیکی مشاهده شد. نتیجه این پژوهش فرموله کردن نوار چسبی با توانایی ارائه خواص فیزیکی و مکانیکی مطلوب‌تر و کارایی در دمای سرویس بالاتر می‌باشد.

## ۲- بخش تجربی

### ۱-۱- مواد

چسب حساس به فشار بر پایه لاستیک بیوتیل از شرکت نیا شیمی، نانو سیلیکا OX 50 (قطر ۴۰ نانومتر و مساحت سطح مخصوص ۵۰ متر بر گرم) از شرکت Evonik آلمان و مرکاپتوسیلان-3 (تصویر ۱) از شرکت مرک مرت (تصویر ۱) از شرکت مرت آلمان تهیه شد.



تصویر ۱ : مرکاپتوسیلان (MPTMS).

### ۱-۲- دستگاه‌ها

در مرحله اصلاح سطحی نانوذرات از هموژنایزر rpm ۱۹۰۰۰ و دستگاه خشک کن پاششی استفاده شد. در مرحله فرآوری چسب از دستگاه‌های بنبوری و زد میکسر و غلتک‌های داغ موازی استفاده شد. دستگاه‌های مورد استفاده و روش کار هر آزمون در ادامه آمده است.

### ۱-۲-۱- آزمون گرما وزن‌سنجی TGA

آزمون‌های گرما وزن‌سنجی TGA توسط دستگاه PYRIS DIAMOND از ذرات نانو سیلیکای اصلاح شده با مرکاپتو سیلان از دمای محیط تا ۵۰۰ درجه سانتی گراد با سرعت ۱۰ درجه سانتی گراد بر دقيقه در جو نیتروژن انجام گرفت. درصد آمایش سطحی با توجه به مقدار کاهش وزن (تخربی مواد آلی) از رابطه ۱ محاسبه می‌شود.

$$R_g = \left( \frac{W_1}{W_0} - \frac{W_0}{W_1} \right) \times 100 \quad (1)$$

(رابطه ۲)

وزن اولیه سیلیکای اصلاح نشده،  $W_0$  وزن سیلیکای اصلاح نشده در دمای ۵۰۰ درجه سانتی گراد،  $W_1$  وزن اولیه نمونه، وزن نمونه در ۵۰۰ درجه سانتی گراد و  $R^g$  درصد آمایش سطحی می‌باشد.

1- Grafting Ratio

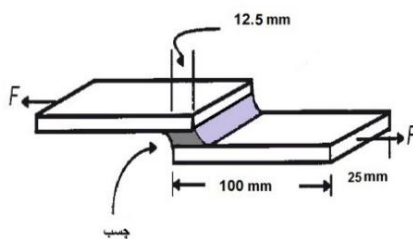
### ۱- مقدمه

چسب‌های حساس به فشار مواد شبه جامدی هستند که خواص ویسکوالاستیک دارند و در یک تماس کوتاه با سطح صلب، به آن می‌چسبند [۱-۶]. برای به دست آوردن بیشترین سطح تماس و ایجاد بالاترین چسبندگی با سطح، دارای خاصیت جریان‌پذیری محدودی می‌باشند. خاصیت الاستیستی این چسب‌ها نقش بسزایی در ذخیره‌شدن انرژی در آنها برای کمک به ایجاد چسبندگی با سطح دارد. نحوه متعادل کردن خواص این دسته از چسب‌ها رفتار نهایی آنها را تعیین می‌کند [۷]. نوار چسب‌های حساس به فشار ضدخوردگی بر پایه لاستیک بیوتیل جهت عایق کاری خطوط لوله‌ای مدفون نفت و گاز استفاده می‌شوند [۸-۱۰]. لاستیک بیوتیل کوپلیمری است تشکیل شده از ایزو بوتیلن و ۰,۵ تا ۳ درصد مولی ایزوپرن که وزن مولکولی Ta ۴۰۰۰۰-۳۰۰۰۰ می‌تواند داشته باشد. وزن مولکولی تأثیر بسزایی در خواص نهایی چسب دارد، چسب‌های برپایه لاستیک بیوتیل شامل تمام وزن مولکولی‌ها می‌باشند یا به عبارت دیگر یکی از چسب‌های برپایه لاستیک بیوتیل [۱۱، ۱۲] از ویژگی‌های چسب‌های اولیه بالا، مقاومت شیمیایی عالی، توانایی اعمال در گازها، چسبندگی اولیه بالا، مقاومت با خواص نفوذ هوا و طیف گسترده‌ای از زیرآیندها، انعطاف‌پذیری بالا، مقاومت عالی در برابر ضربه، طول عمر بالا و تنوع محصولات به دست آمده از آن را نام برد [۹، ۱۳]. خواص مکانیکی و حرارتی چسب بر کارایی نهایی آن تأثیرگذار است [۷] و از طرفی پخت لاستیک بیوتیل استفاده شده باعث بهبود خواص مکانیکی و حرارتی آن می‌گردد [۱۴-۱۸] در صنعت خطوط انتقال لوله‌ای نفت و گاز، پوشش‌های با خواص مکانیکی بهینه و پایدار همواره عاملی برای عمر بیشتر لوله و جلوگیری از خوردگی می‌باشند [۱۹]. استفاده از پرکننده‌های معدنی بصورت پودر جهت تقویت مکانیکی چسب‌ها، لاستیک‌ها و کامپوزیت‌ها از ابتدای به وجود آمدن مواد ذکر شده همواره مورد توجه بوده است [۲۰، ۲۱]. اصلاح سطحی این پودرها و نتایج ملموس بدست آمده در دو دهه اخیر توجه بیشتری را به خود جلب کرده است [۲۲-۳۳]. مرکاپتوسیلان به راحتی پیوندهای دوگانه غیراشباع الاستومر را باز کرده و پیوند کووالانسی تشکیل می‌دهد [۳۴]. از طرفی اصلاح سطحی سیلیکا با مرکاپتوسیلان و پایین آوردن انرژی سطحی آن باعث بهبود پراکننده‌سازی ذره در لاستیک و تقویت نیروهای لاندن بین ذره سیلیکا و لاستیک و در نهایت تقویت فیزیکی، مکانیکی محصول لاستیکی می‌گردد [۳۵].

در این پژوهش ابتدا به روش محلول نانوذرات سیلیکا آمایش سطحی شده و با آزمون‌های TGA، FT-IR کمی شدند. سپس از ذرات آمایش شده در فرمولاسیون چسب حساس به فشار لاستیک بیوتیل استفاده شد و با آزمون‌های نقطه نرمی، چسبندگی، تنش برشی و

**۲-۵-۵- آزمون تنش برشی<sup>۴</sup>**

این آزمون برای کمی کردن میزان مقاومت چسب در برابر خرزش در هنگام قرار گرفتن در معرض تنش‌های خاک انجام می‌گیرد. استاندارد منطبق با این آزمون 2009 BS EN 1465: 2009 می‌باشد. طبق این استاندارد چسب با ضخامت مشخص (۱ میلی‌متر) بین دو صفحه فولادی مطابق تصویر ۳، با رعایت عملیات زیرسازی (سنند بلاست و پرایم زنی) اعمال گردید و توسط دستگاه کشش سنتام STM5 با سرعت  $10 \text{ mm/min}$  بر دقتیه در دمای  $22 \pm 2^\circ\text{C}$  درجه سانتی‌گراد، میزان بیشینه تنش برشی محاسبه گردید.



تصویر ۳: آزمون تنش برشی چسب بر گرفته از استاندارد BS EN 1465 [۳۸].

**۲-۶- آزمون کشش چسب**

با توجه به اینکه چسب‌های الاستومری به غیر از موارد خاص، توانایی تحمل فشار ناشی از فک دستگاه کشش را ندارند، با روش‌های معمول آزمون کشش نمی‌توان این مواد را مورد بررسی قرار داد. طبق استاندارد ASTM D897، چسب با ضخامت مشخص بین دو صفحه فلزی با سطح مقطع مشخص مطابق تصویر ۴ قرار گرفته و توسط دستگاه کشش طوری به آن نیرو وارد می‌شود که به تمام نقاط نیروی برابری اعمال شود. سرعت فاصله گرفتن فک‌ها طبق استاندارد ۵۰ میلی‌متر بر دقیقه و دمای محیط  $22 \pm 2^\circ\text{C}$  درجه سانتی‌گراد می‌باشد. در این تحقیق ضخامت چسب  $4 \text{ mm}$  میلی‌متر در نظر گرفته شد و سطح فک‌ها قبل از قرار گرفتن نمونه مورد آماده‌سازی و پرایم زنی قرار گرفت. خروجی‌های این آزمون میزان نیرو در نقطه تسلیم یا همان نقطه شکست و میزان افزایش طول نمونه می‌باشد.



تصویر ۴: فک آزمون کشش چسب طبق استاندارد ASTM D897. (چپ: فک طراحی شده توسط شرکت 3M و راست: فک طراحی شده در این پژوهش).

4- Lap shear

**۲-۲-۲- طیف‌سنجی تبدیل فوریه زیر قرمز FT-IR**

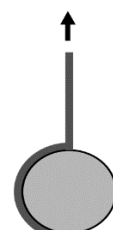
طیف‌سنجی تبدیل فوریه زیر قرمز FT-IR با دستگاه مدل Spectrum One ساخت شرکت Perkin-Elmer برای تأیید اصلاح سطحی انجام شده بر روی سیلیکا انجام گرفت.

**۲-۳- آزمون نقطه نرمی<sup>۱</sup>**

این آزمون توسط دستگاه مربوطه مطابق با استاندارد ASTM E28 انجام شد. نقطه نرمی آزمونی است برای محقق‌کردن میزان کارایی محصول از نظر مکانیکی در دمای‌های بالاتر و تا حدودی ما را در اصلاح محصول نهایی کمک می‌کند [۷۰، ۳۶].

**۲-۴- آزمون چسبندگی<sup>۲</sup>**

آزمون چسبندگی در مورد چسب‌های حساس به فشار، عبارت است از نیروی لازم برای کندن نوار چسب منعطف از سطحی با ماهیت مشخص، با زاویه، دما و سرعت مشخص، با توجه به استاندارد مرجع. در این آزمون با توجه به حالت کنده‌شدن چسب از سطح، میزان کمی چسبندگی و انسجام<sup>۳</sup> (پیوستگی) چسب مشخص می‌گردد. آزمایش طبق استاندارد EN12068 با زاویه  $90^\circ$  درجه و سرعت  $10 \text{ mm/min}$  طبق اجراء می‌شود (تصویر ۲). طبق این استاندارد سه عدد نوار چسب با عرض مشخص، از نمونه‌ها تهیه می‌شود و بر روی لوله  $4 \text{ mm}$  سنند بلاست شده و پرایم خورده، اعمال می‌گردد. پس از طی ۱ هفته آزمون چسبندگی توسط دستگاه کشش سنتام STM5 در دو دمای  $22 \pm 2^\circ\text{C}$  و  $60 \pm 2^\circ\text{C}$  درجه سانتی‌گراد انجام شد. نحوه محاسبه عدد چسبندگی طبق استاندارد 12068 EN به این صورت است که در هر شکل چسبندگی  $5$  نقطه بیشینه و  $5$  نقطه کمینه یک در میان از  $60$  درصد میانی شکل انتخاب می‌شود و با توجه به اینکه هر نمونه دارای  $3$  آزمون چسبندگی می‌باشد، در نهایت میانگین  $30$  عدد به دست آمده تقسیم بر عرض نوار بر حسب سانتی‌متر، عدد چسبندگی بر حسب نیوتون بر سانتی‌متر را به ما می‌دهد.



تصویر ۲: آزمون چسبندگی بر روی لوله با زاویه  $90^\circ$ .

1- Softening Point

2- Peel adhesion

3- Cohesion

سانتریفیوژ ۴۵۰۰ rpm از محلول جدا گشت و به وسیله دستگاه خشک کن پاششی<sup>۲</sup> در دمای ۱۲۰ درجه سانتی گراد تحت شرایط خلا عاری از هر گونه حلال و سیلان واکنش نداده شد.

### ۲-۳-۲- روش آماده سازی نمونه

پودر نانو سیلیکا اصلاح نشده و اصلاح شده S4 در مرحله اختلاط دستگاه زد میکسر با غلظت های ۶، ۳ و ۹ phr<sup>۳</sup> به فرمولاسیون نهایی ۱۶۰ °C چسب حساس به فشار بر پایه لاستیک بیوتیل در دمای ۱۶۰ °C اضافه شد و به مدت نیم ساعت به آن زمان داده شد تا به صورت یکنواخت در چسب پراکنده شود. سپس چسب فرموله شده به ضخامت ۳۰۰ میکرومتر بر روی نوار پلی اتیلنی با ضخامت ۵۰۰ میکرومتر توسط دستگاه لمینیت با غلتک های داغ ۱۴۰ °C اعمال گردید.

### ۳- نتایج و بحث

#### ۳-۱- بررسی نتایج اصلاح سطحی نانو ذرات سیلیکا

##### ۳-۱-۱- طیف سنجی زیر قرمز

در این آزمون جذب های صورت گرفته در مورد نمونه های سیلیکا اصلاح شده با غلظت های مختلف سیلان، سیلیکا خالص و سیلان خالص مورد بررسی قرار گرفت. شکل ۱ جذب صورت گرفته برای مرکاپتو سیلان می باشد. همان گونه که مشاهده می گردد جذب در محدوده طول موج ۲۵۶۵ cm<sup>-1</sup> به وضوح وجود گروه های -SH- را در ماده نشان می دهد.

- 1- Surface Treatment
- 2- Spray Dryer
- 3- Parts per Hundred Rubber

### ۲-۳-۲- روش کار

#### ۲-۳-۱- روش اصلاح سطحی<sup>۱</sup>

مقدار مرکاپتو سیلان مورد نیاز برای پوشاندن سطح سیلیکا و ایجاد یک پوشش تک لایه از رابطه ۲ محاسبه گردید [۳۴].

$$X = \frac{S \times M}{A \times 6.02 \times 10^{23}} \quad (2)$$

X میزان مرکاپتو سیلان بر حسب گرم، S مساحت سطح مخصوص ذره بر حسب متر مربع بر گرم، M وزن مولکولی مرکاپتو سیلان (۱۹۶,۳۴ گرم بر مول)، A مساحتی است که یک مولکول مرکاپتو سیلان بر روی سطح ذره اشغال می کند و برابر ۰,۱۳ نانومتر مربع می باشد. با توجه به چگالی مرکاپتو سیلان (۱,۰۵ گرم بر سانتی متر مکعب) مقدار لازم برای آمایش سطحی ۳۰ گرم سیلیکا تقرباً برابر ۴ میلی لیتر (۳,۹۵ میلی لیتر) می باشد. اصلاح سطحی شامل دو مرحله آبکافت و چگالش می باشد. متغیرهای این نوع آمایش سطحی عبارتند از: غلظت سیلان، pH محیط، دما، زمان و نسبت مولی آب به سیلان. در این تحقیق مقدار غلظت، متغیر و سایر عوامل ثابت نگه داشته شد. واکنش در یک بالن یک لیتری ۴ دهانه تحت هموزنایزر ۱۹۰۰۰ rpm ساخت شرکت IKA انجام گرفت. مرحله اول در دمای ۷۸ درجه سانتی گراد تحت شرایط تقطیر برگشتی در pH=۲-۲,۵ درجه به مدت ۱ ساعت انجام شد. مرحله دوم در دمای ۷۸ درجه سانتی گراد تحت شرایط تقطیر برگشتی در pH=۹-۱۰ به مدت ۳ ساعت انجام شد. مواد استفاده شده در هر نمونه در جدول ۱ آمده است. عامل h نسبت مولی آب به سیلان می باشد. ۳ h = یعنی ۹ مول آب به ۱ مول سیلان. این نسبت در تمام نمونه ها رعایت شده است. در پایان پودر آمایش شده پس از سه مرتبه شستشو با اتانول، با

جدول ۱: مواد به کار رفته در فرآیند آمایش سطحی نمونه ها.

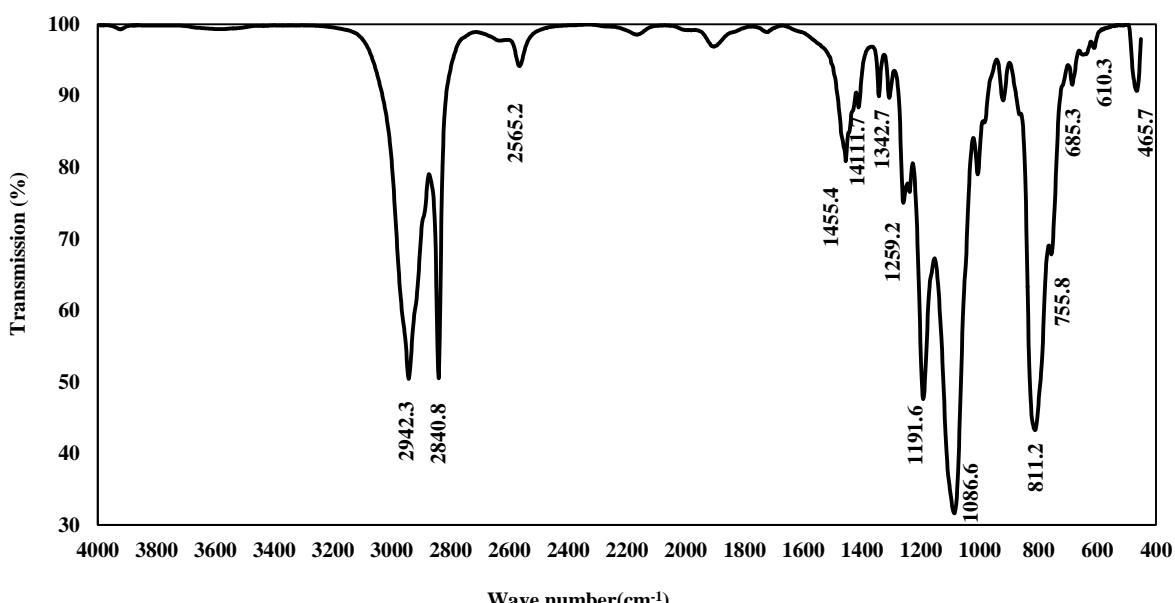
نمونه S8	نمونه S4	نمونه S2	
۸	۴	۲	مرکاپتو سیلان (میلی لیتر)
۳۰	۳۰	۳۰	سیلیکا (گرم)
۵۷۲≈۵۷۲,۲	۵۷۹≈۵۷۹,۳	۵۸۳≈۵۸۲,۹	اتانول خالص (میلی لیتر)
۶,۲	۳,۱	۱,۵	آب مقططر (میلی لیتر)
دستیابی به pH=۲ در مرحله آبکافت	دستیابی به pH=۲ در مرحله آبکافت	دستیابی به pH=۲ در مرحله آبکافت	اسید کلریدریک
دستیابی به pH=۹ در مرحله چگالش	دستیابی به pH=۹ در مرحله چگالش	دستیابی به pH=۹ در مرحله چگالش	هیدروکسید سدیم٪ ۵

## ۲-۱-۳- گرما وزن سنجی

همان گونه که در شکل ۳ مشاهده می‌شود، حدوداً در دمای ۲۵۰ درجه سانتی‌گراد پیوندهای بین مرکاپتوسیلان (بخش آلی) و سطح سیلیکا شروع به تخریب کرده و کاهش وزن به مرور قابل مشاهده است. بیشترین کاهش وزن با توجه به پیک نمودار DTG در حدود دمای ۳۶۰ درجه سانتی‌گراد رخ داده است. اگر که مرکاپتوسیلان واکنش نداده به سطح سیلیکا داشتیم با توجه به اینکه دمای جوش این نوع سیلان ۸۵ درجه سانتی‌گراد می‌باشد مطمئناً در این دما کاهش وزن نمونه مشاهده می‌شود. بنابراین صحت انجام آمایش سطحی سیلیکا توسط مرکاپتوسیلان تایید می‌گردد. با توجه به نتایج بدست آمده در جدول ۳، بالاترین بازدهی مربوط به نمونه S4 می‌باشد که غلظت مرکاپتوسیلان مناسب با میزان سطح در دسترس با توجه به رابطه ۱ محاسبه گردید. در مورد نمونه S2 چنین می‌توان نتیجه گرفت که همواره مقداری از سیلان در محیط درگیر واکنش‌های جانبی می‌گردد و این قضیه با توجه به غلظت پایین مرکاپتوسیلان در این نمونه تأثیر خود را بر بازدهی نهایی بهتر نشان می‌دهد.

در شکل ۲ مشاهده می‌گردد عاملیت SH در جذب صورت گرفته در  $cm^{-1}$  ۲۵۶۴، وجود خود را بر سطح سیلیکای اصلاح سطحی شده نشان داده است. از روی طول پیک می‌توان نتیجه گرفت که با افزایش غلظت سیلان درصد اصلاح سطحی افزایش یافته است. این موضوع در شکل‌های TGA نیز مشهود است. همچنین، جذب صورت گرفته در ۲۹۳۲ نشان دهنده گروه  $-CH_2-$  مربوط به پیوندهای سیلانی می‌باشد.

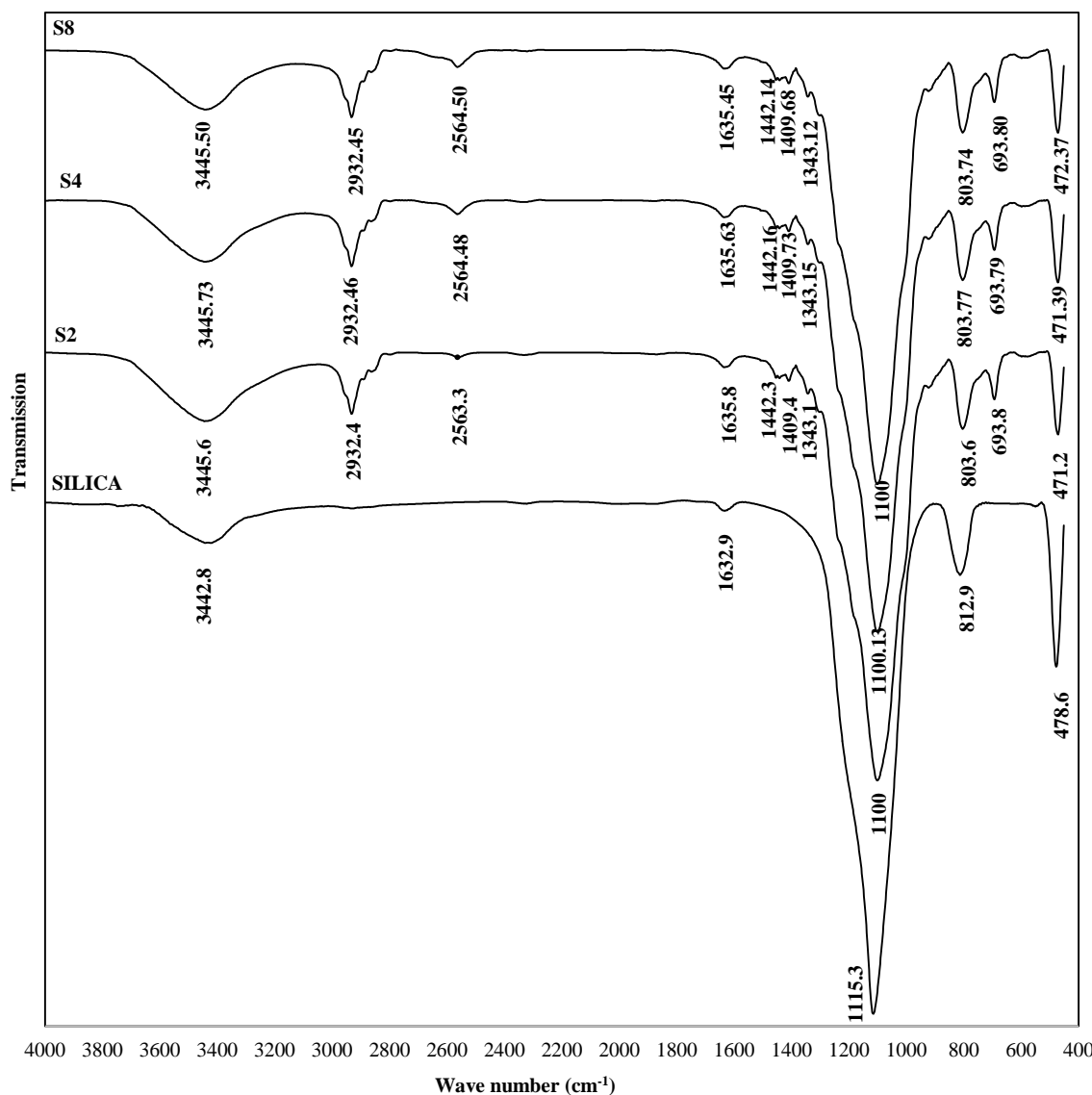
جذب مربوط به گروه هیدروکسیل OH در محدوده  $3200-3750 cm^{-1}$  با جذب صورت گرفته توسط رطوبت سیلیکا در  $3445 cm^{-1}$  همپوشانی دارد. با توجه به کاهش جذب در  $3445 cm^{-1}$  مربوط به OH- و افزایش جذب مربوط به Si-O-Si در  $803 cm^{-1}$  و  $471 cm^{-1}$ ، به راحتی می‌توان نتیجه گرفت که آب جذب شده کاهش و گروه Si-O-Si افزایش یافته است و از آب دوست بودن سطح نانو ذره کاسته شده است.



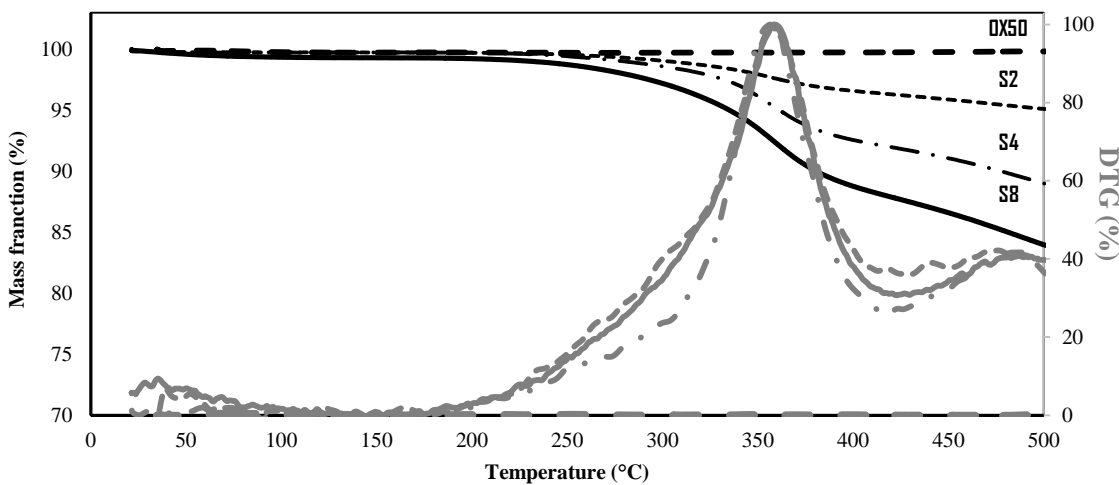
شکل ۱: آزمون FT-IR مربوط به مرکاپتوسیلان.

جدول ۲: جذب‌های مشاهده شده در آزمون FT-IR

جذب ( $\text{cm}^{-1}$ )	پیوند اتمی مربوطه
۱۱۰۰ و ۸۰۳ و ۴۷۱	Si-O
۷۵۰ تا ۵۰۰	S-S , C-S
۱۳۴۳ و ۱۴۰۹	Si-C
۱۶۳۵ و ۱۴۴۲	C-O
۲۵۶۴	S-H
۲۹۳۲	C-H
۳۴۴۵	O-H



شکل ۲: آزمون FT-IR مربوط به سیلیکا و سیلیکای اصلاح شده توسط مرکاپتوسیلان (S2: سیلیکای اصلاح شده توسط ۲ میلی لیتر سیلان، S4: سیلیکای اصلاح شده توسط ۴ میلی لیتر سیلان و S8: سیلیکای اصلاح شده توسط ۸ میلی لیتر سیلان).



شکل ۳: TGA و DTG نمونه‌های S8، S4، S2 و OX50.

جدول ۳: تحلیل داده‌های مربوط به آزمون TGA

S8	S4	S2	OX50	
۱۶,۰۷	۱۱,۰۲	۴,۹	۰,۱۷	درصد کاهش وزن در °C
۲۰	۱۱,۰۹	۵,۸	--	$R_g$ درصد آمیش سطحی نظری
۱۵,۹	۱۰,۸۵	۴,۷۳	--	$R_g$ درصد آمیش سطحی تجربی
۷۹,۵۰	۹۷,۸۳	۸۱,۵۵	--	بازده (%)

دماهای بالا سبب بالا رفتن میزان چسبندگی در دماهای بالاتر به دلیل افزایش پیوستگی (انسجام) بشود.

**۲-۲-۲- آزمون چسبندگی**  
نتایج نهایی آزمون چسبندگی در دماهای ۲۳ درجه سانتی‌گراد به صورت جدول ۵ می‌باشد. در مقایسه نمونه‌های آمیش سطحی شده و آمیش نشده با غلظت برابر تأثیر آمیش سطحی نانو ذره در بهبود خواص چسبندگی به روشنی قابل مشاهده است. پخت جزء لاستیکی باعث بالا رفتن انسجام چسب گشته است و از آنجایی که در جدایش این چسب از سطح، شکست از وسط چسب روی می‌دهد، تأثیر مستقیم بر چسبندگی دارد (جدول ۵).

در مقایسه نمونه‌هایی که از نانو ذرات سیلیکای آمیش سطحی نشده استفاده شده است مشاهده می‌گردد میزان چسبندگی نسبت به نمونه مرجع بهبود یافته است، اما در نمونه ۹٪ کاهش چسبندگی داریم. دلیل این قضیه رد شدن از غلظت بهینه نانو ذره می‌باشد که تجمع آنها (کلوخه شدن) و کامل نشدن فرآیند پراکنده‌سازی را در پی دارد. این عوامل باعث کاهش خواص مکانیکی محصول نهایی گشته است. همین تحلیل در مورد نمونه‌هایی که از غلظت‌های مختلف نانو سیلیکای آمیش سطحی شده استفاده شده است، صدق

در نمونه S8 با توجه به بالا بودن غلظت مرکاپتوسیلان میزان واکنش‌های جانبی مانند چگالش مولکول‌های سیلان با خودشان، بیشتر گشته و با توجه به سطح محدود در دسترس، بازدهی کاهش یافته است. اما میزان اصلاح سطحی به بالاترین درصد خود در این روش می‌رسد که می‌تواند ناشی از افزایش چگالش مولکول‌های سیلان با مولکول‌های پیوند خورده با سطح و ایجاد بیش از یک لایه مرکاپتوسیلان باشد [۲۹، ۲۶، ۲۳].

### ۲-۳- بررسی نتایج خواص فیزیکی و مکانیکی چسب حساس به فشار

**۲-۳-۱- آزمون نقطه نرمی**  
نتایج آزمون در جدول ۴ گزارش شده است. با توجه به اینکه سیلیکای آمیش شده با مرکاپتو سیلان حامل گروه -SH است و توانایی واکنش با پیوندهای غیراشباع فاز لاستیک بیوتیل را دارد می‌باشد، انتظار می‌رود که سبب بالا رفتن مدول ذخیره با ایجاد شبکه در لاستیک بکار رفته در فرمولاسیون چسب و بهبود خواص ویسکوالاستیک چسب شود. همانگونه که در نتایج اعلام شده است بیشترین میزان افزایش نقطه نرمی در نمونه‌های M ۹٪ و M ۶٪ بدست آمده است. انتظار می‌رود بهبود خواص مکانیکی چسب در

داده است. دلیل این امر واکنش دادن مرکاپتوسیلان سطح سیلیکا با پیوندهای غیراشباع لاستیک بیوتیل می‌باشد که موجب ایجاد شبکه در ساختار چسب و بهبود خواص مکانیکی چسب شده است. نمونه M ۰.۹ در مقایسه با M ۰.۶ مقاومت کمتری در برابر نیروی برشی نشان داده است. این نشان دهنده رشدشدن از حد بهینه غلظت نانوذره و وارد شدن به غلظتی است که نانوذرات به هم چسبیده و پراکنده سازی کامل حاصل نشده است (شکل ۴، جدول ۵).

### ۴-۲-۳- آزمون کشش چسب

حضور نانو ذرات بطور کلی باعث بالا رفتن میزان مقاومت به کشش و افزایش چشم‌گیر ازدیاد طول نمونه‌ها در اثر بهبود پیوستگی چسب گشته است. مطابق نتایج بدست آمده در شکل ، دیده می‌شود که نانوذرات آفزایش شده، هم بر مقاومت کششی و هم درصد ازدیاد طول نمونه‌ها تأثیر مثبت داشته است.

می‌کند. با این تفاوت که میزان چسبندگی در مقایسه با نمونه‌های آمایش سطحی نشده به سبب واکنش مرکاپتوسیلان با لاستیک بیوتیل بالاتر می‌باشد.

نتایج مربوط به آزمون چسبندگی در شرایط دمایی ۶۰ درجه سانتی‌گراد در جدول ۴ بر حسب نیوتون بر سانتی‌متر گزارش شده است. در این دما نیز بالاترین چسبندگی مربوط به نمونه M ۰.۶ می‌باشد و تمامی تحلیل‌های چسبندگی در دمای ۲۳ درجه در اینجا نیز صدق می‌کند.

### ۴-۳-۲- آزمون تنش برشی

در این آزمون مشاهده گردید که با افزایش هر دو نوع نانو ذرات سیلیکا آمایش سطحی شده و آمایش سطحی نشده مقاومت به تنش برشی در نمونه افزایش یافته است. نکته اینجاست که در نمونه‌های آمایش سطحی شده، در کرنش بالاتر و با نیروی بیشتری شکست رخ

جدول ۴ : نتایج آزمون نقطه نرمی طبق استاندارد ASTM E28

نمونه	نقاطه نرمی (درجه سانتی‌گراد)	BLANK	٪۰.۳M	٪۰.۶M	٪۰.۹M	٪۰.۹M
۱۴۹	۱۵۳	۱۶۹	۱۵۷	۱۷۶	۱۵۷	۱۷۶

جدول ۵ : نتایج نهایی آزمون چسبندگی در دمای ۲۳ درجه سانتی‌گراد.

نمونه	میانگین چسبندگی طبق استاندارد EN 12068 (N/cm)	BLANK	٪۰.۳M	٪۰.۶M	٪۰.۹M	٪۰.۹M
۱۰.۳۶	۱۱.۲۸	۱۴.۲	۱۲.۹۴	۱۷.۳۶	۱۲.۵۸	۱۵.۰۶

جدول ۶ : نتایج نهایی آزمون چسبندگی در دمای ۶۰ درجه سانتی‌گراد.

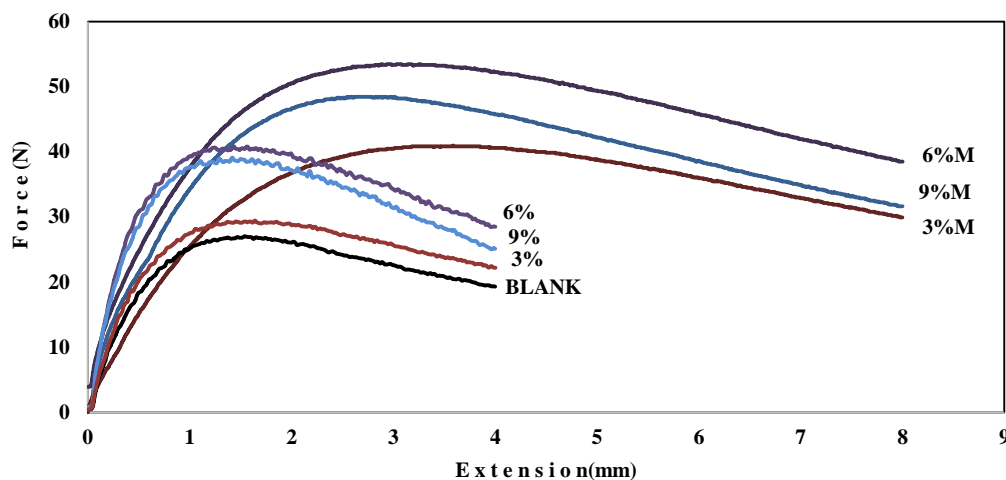
نمونه	میانگین چسبندگی طبق استاندارد EN 12068 (N/cm)	BLANK	٪۰.۳M	٪۰.۶M	٪۰.۹M	٪۰.۹M
۲.۰۴	۲.۵۴	۳.۰۷	۲.۸۶	۳.۸۳	۲.۶۴	۳.۴۲

جدول ۷: نتایج آزمون تنش برشی.

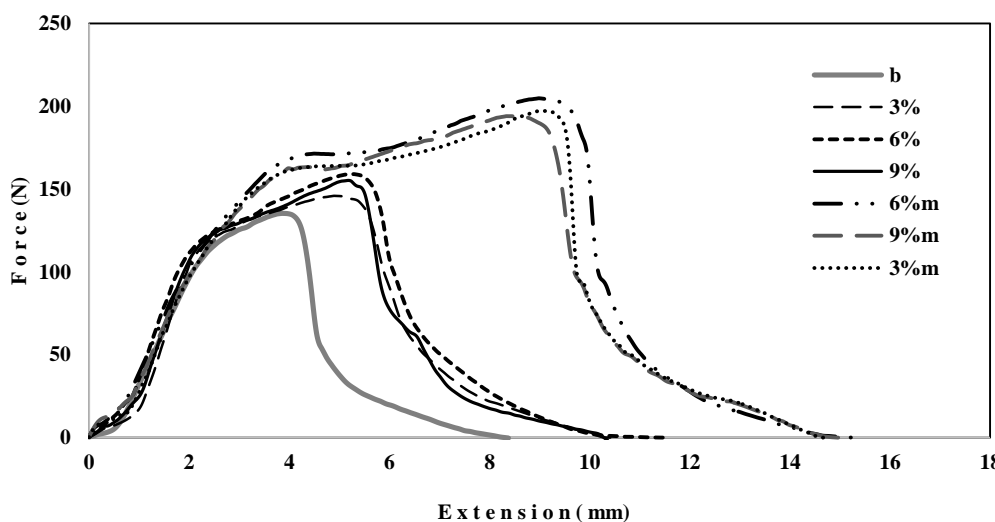
نمونه	تنش برشی (N/cm <sup>2</sup> )	BLANK	٪۰.۳M	٪۰.۶M	٪۰.۹M	٪۰.۹M
۸.۵۷	۹.۳۶	۱۳.۰۳	۱۳.۰۱	۱۷.۱۰	۱۲.۴۱	۱۵.۴۵

جدول ۸: مقادیر ازدیاد طول و نیرو در نقطه تسلیم در آزمون کشش نمونه‌ها.

نمونه	نیرو در نقطه تسلیم (N/cm <sup>2</sup> )	ازدیاد طول (%)
BLANK	۵.۷۲	۱۰۹
٪۰.۳	۶.۲۴	۱۶۰
٪۰.۳M	۸.۳۲	۲۶۸
٪۰.۶	۶.۸۲	۱۸۶
٪۰.۶M	۸.۷۴	۲۸۲
٪۰.۹	۶.۵۶	۱۵۹
٪۰.۹M	۸.۰۲	۲۷۵



شکل ۴: نتایج آزمون تنش برشی.



شکل ۵: آزمون کشش نمونه‌ها طبق استاندارد .ASTM D897

می‌گردد. از نتایج آزمون‌های تنش برشی و کشش به وضوح می‌توان مشاهده کرد که حضور نانو ذرات آمایش شده در فرمولاسیون سبب افزایش مقاومت به تنش برشی و کششی، بهبود خواص مکانیکی و افزایش طول بیشتر با نیرو در نقطه تسلیم بالاتر شده است. با توجه به نتایج آزمون چسبندگی، حضور نانو ذرات آمایش شده در چسب سبب افزایش انسجام و پیوستگی چسب و در نهایت بالا رفتن میزان عدد چسبندگی شده است. با توجه به نتایج آزمون نقطه نرمی و چسبندگی در دمای ۶۰ درجه سانتی‌گراد به راحتی می‌توان نتیجه گرفت که این اصلاح فرمولاسیون باعث بزرگ‌تر شدن بازه کارایی محصول گشته است و در دماهای کاربری بالاتر نیز می‌توان از آن بهره گرفت.

#### ۴- نتیجه‌گیری

در آمایش سطحی نانو ذرات سیلیکا به صرفه‌ترین غلظت سیلان در فرآیند اصلاح سطحی به روش محلول همان نسبت استوکیومتری یا غلظت براساس میزان سطح در دسترس برای نشاندن یک تکلایه از سیلان می‌باشد. در غلظت‌های پایین‌تر به دلیل حضور همیشگی واکنش‌های جانبی و در غلظت‌های بالاتر به دلیل واکنش گروه‌های سیلانی با خودشان، بازده نهایی کاهش می‌باشد. نانو ذرات اصلاح شده به دلیل دارا بودن گروه عاملی SH- و واکنش با باندهای غیراشباع لاستیک بیوتیل سبب ایجاد شبکه در ساختار چسب شده است. پخت لاستیک‌ها همواره سبب بالا رفتن خواص فیزیکی و مکانیکی آنها

## ۵- مراجع

1. B. Pang, C. M. Ryu, and H.I. Kim, Improvement of thermal stability of UV curable pressure sensitive adhesive by surface modified silica nanoparticles. *Mater. Sci. Eng., B*, 178(2013), 1212-1218.
2. A. H. Landrock, S. Ebnesajjad, Adhesives technology handbook. William Andrew, 2008.
3. E. M. Petrie, Handbook of adhesives and sealants, McGraw-Hill. 2000.
4. W. Brockmann, P. L.Geiß, J.Klingen, B.Schröder & B.Mikhail, Adhesive bonding: materials, applications and technology. Wiley-VCH Darmstadt. 2009.
5. W. C. Wake, Theories of adhesion and uses of adhesives: a review. *Polymer*. 19(1978), 291-308.
6. D. E. Packham, Handbook of adhesion, John Wiley & Sons, 2006.
7. I. Benedek, Pressure-sensitive adhesives and applications. CRC Press, 2004.
8. I. Benedek, M. M. Feldstein, Applications of pressure-sensitive products. CRC Press, 2008.
9. W. F. Harrington, Elastomeric adhesives. Handbook of adhesive technology. Estados Unidos: Marcel Dekker, 143-150, 2003.
10. L. Mamish Abboud, Tape coating system for pipeline corrosion protection, Pressure Sensitive Tape Council (PSTC), 2009.
11. I. Benedek, Developments in pressure-sensitive products. CRC Press, 2005.
12. B. Rodgers, W. H. Waddell, S. Solis, W. Klingensmith, Rubber compounding. Wiley Online Library, 2004.
13. S. R. Scagliusi, E. C. Cardoso, A. B. Lugao, Radiation-induced degradation of butyl rubber vulcanized by three different crosslinking systems. *Radiat. Phys. Chem.* 81(2012), 991-994.
14. S. Thomas, R. Stephen, Rubber nanocomposites: preparation, properties and applications. John Wiley & Sons, 2010
15. A. S. HASHIM, S. ONG, Silica Reinforcement in Natural Rubber in Micro and Nano Length Scales. Natural Rubber Materials: Volume 2: Composites and Nanocomposites, 2013.
16. Z. Czech, W. Arabczyk, A. Hełminiak, A. Kowalczyk, Influence of iron carbide filler in carbon matrix on the adhesive properties of acrylic pressure-sensitive adhesives. *Int. J. Adhes. Adhes.* 40(2013), 210-214.
17. M. N. Park, H. S. Kang, S. W.Kim, S. Y. Yoon, Y. J. Kim, Y. S. Kang, Preparation of MPS (mercaptopropyltrimethoxysilane) - coated SiO<sub>2</sub> nanoparticle and its effect on mechanical properties of surface treated SiO<sub>2</sub>/EVA nanocomposite. *Compos. Interfaces.* 14, 5-6, 2007.
18. H. Nabil, H. Ismail, A. Azura, Optimisation of accelerators and vulcanising systems on thermal stability of natural rubber/recycled ethylene-propylene-diene-monomer blends. *Mater. Des.* 53(2014), 651-661.
19. A. W. Peabody, Peabody's control of pipeline corrosion. NACE international 2001.
20. H. E. Bergna, W. O. Roberts, Colloidal silica: fundamentals and applications, CRC Press, 2006.
21. M. Xanthos, Functional fillers for plastics. John Wiley & Sons, 2010.
22. E. P. Plueddemann, Silane coupling agents. Springer Science & Business Media, 1982.
23. J. Wu, L. Ling, J. Xie, G. Ma, B. Wang, Surface modification of nanosilica with 3-mercaptopropyl trimethoxysilane: Experimental and theoretical study on the surface interaction. *Chem. Phys. Lett.* 591(2014), 227-232.
24. B. M. Vogel, D. M. DeLongchamp, C. M. Mahoney, L. A. Lucas, D. A. Fischer, E. K. Lin, Interfacial modification of silica surfaces through  $\gamma$ -isocyanatopropyl triethoxy silane–amine coupling reactions. *Appl. Surf. Sci.* 254(2008). 1789-1796.
25. V. Dugas & Y. Chevalier, Surface hydroxylation and silane grafting on fumed and thermal silica. *J. Colloid. Interface. Sci.* 264(2003), 354-361.
26. J. Wu, J. Xie, L. Ling, G. Ma, B. Wang, Surface modification of nanosilica with 3-mercaptopropyl trimethoxysilane and investigation of its effect on the properties of UV curable coatings. *J. Coat. Technol. Res.*, 10(2013), 849-857.
27. M. Galimberti, Rubber-clay Nanocomposites: Science, Technology, and Applications. John Wiley & Sons, 2011.
28. F. Khelifa, M. E.Druart, Y.Habibi, F. Bénard, P. Leclère, M. Olivier, P. Dubois, Sol-gel incorporation of silica nanofillers for tuning the anti-corrosion protection of acrylate-based coatings. *Prog. Org. Coat.* 76(2013), 900-911.
۲۹. و. توکلی, م. محسنی, م. رستمی, استفاده از اتصال دهنده سیلانی و اسید فسفوکربنات کلسیم و بررسی رفتار پخش آن در آب و تولوئن, نشریه علمی پژوهشی علوم و فناوری رنگ, (۱۳۸۸) ۳، ۲۱-۲۰.
۳۰. ی. زمانی, م. محسنی, س. باستانی, م. رستمی, اصلاح سطحی نانو سیلیکا با جفت‌شونده اکریلیک سیلانی: تأثیر شایط واکنش آمیash سطحی روی شیمی سطح ذرات اصلاح شده, نشریه علمی پژوهشی علوم و فناوری رنگ, (۱۳۹۱) ۶، ۲۷۱-۲۸۲.
۳۱. م. رستمی, م. محسنی, ز. رنجبر, آمیash نانو سیلیکا با آمینوسیلان: بررسی اثر pH واکنش بر خواص سطحی و کلابرداری ذره, نشریه علمی پژوهشی علوم و فناوری رنگ, (۱۳۸۹) ۴، ۷۱-۸۲.
۳۲. م. رستمی, م. محسنی, ز. رنجبر, آمیash سطحی نانو سیلیکا با ماده پیونددهنده اپوکسی سیلان به منظور بهبود خواص آن در بستر پلی‌پورتان, نشریه علمی پژوهشی علوم و فناوری رنگ, (۱۳۹۴) ۹، ۳۳-۲۱.
۳۳. م. رستمی, ر. امینی, بررسی اثر اصلاح سطحی نانو ذرات الومینیا با وینیل سیلان بر خواص فیزیکی مکانیکی رزین وینیل استر, نشریه علمی پژوهشی علوم و فناوری رنگ, (۱۳۹۵) ۱۰، ۲۴۶-۲۳۳.
34. K. Nagata, Y. Takahashi, S. Shibusawa & Y. Nakamura, Interfacial structure in vulcanized EPDM filled with mercaptosilane-treated Al (OH) 3 and its influence on the mechanical properties. *J. Adhes. Sci. Technol.* 16(2002), 1017-1026.
35. S. J. Park, K. S. Cho, Filler-elastomer interactions: influence of silane coupling agent on crosslink density and thermal stability of silica/rubber composites. *J. Colloid. Int. Sci.* 267(2003), 86-91.
36. I. Benedek, M. M. Feldstein, Technology of pressure-sensitive adhesives and products. CRC Press, 2008.
37. European Committee For Standardization "External organic coatings for the corrosion protection of buried or immersed steel pipelines used in conjunction with cathodic protection" BS EN 12068, British Standard, 1999.
38. European Committee For Standardization "Adhesives - Determination of tensile lap-shear strength of bonded assemblies" BS EN 1465, British Standard, 2009.